

دوزیمتري چشمeh های برآکي تراپي پالاديم ۱۰۳-

تعیین تابع دوز شعاعی، تابع ناهمسانگردي و ثابت ناهمسانگردي اولين نمونه دانه‌ي چشمeh برآکي تراپي پالاديم-۱۰۳ توليد شده در پژوهشکده تحقيقات كشاورزي، پژشكى و صنعتى با استفاده از TLD-100

غلامرضا رئيس علی^{۱*}، مریم قاسمی غنچه نازی^۲، پروانه شکرانی^۳، مهدی صادقی^۴، ارزنگ شاهور^۵، کورش اربابی^۶

- ۱- دانشيار پژوهشکده کاربرد پرتوها، پژوهشگاه علوم و فنون هسته‌اي، سازمان انرژي اتمی ایران
- ۲- کارشناسی ارشد فیزیک پژشكى، دانشکده پژشكى، دانشگاه علوم پژشكى اصفهان
- ۳- استادیار گروه فیزیک پژشكى، دانشکده پژشكى، دانشگاه علوم پژشكى اصفهان
- ۴- استادیار پژوهشکده تحقيقات كشاورزي، پژشكى و صنعتى، پژوهشگاه علوم و فنون هسته‌اي، سازمان انرژي اتمی ایران
- ۵- کارشناس ارشد پژوهشکده تحقيقات كشاورزي، پژشكى و صنعتى، پژوهشگاه علوم و فنون هسته‌اي، سازمان انرژي اتمی ایران
- ۶- کارشناس ارشد پژوهشکده تحقيقات كشاورزي، پژشكى و صنعتى، پژوهشگاه علوم و فنون هسته‌اي، سازمان انرژي اتمی ایران

تاریخ دریافت نسخه اصلاح شده: ۲۸/۱۰/۸۶ تاریخ پذیرش مقاله: ۱۷/۱۱/۸۶

چکیده

مقدمه: چشمeh های برآکي تراپي با فوتون کم انرژي پالاديم-۱۰۳^۱ برای درمان بدخيими پروستات استفاده می‌شوند. مطابق با توصيه های انجمن فیزیک پژشكى آمریکا^۲ در پروتکل TG-43U1 لازم است، پارامترهای دوزیمتري این چشمehها شامل شدت کرمای هوا، ثابت آهنگ دوز، تابع هندسي، تابع دوز شعاعی و تابع ناهمسانگردي، بطور دقیق تعیین شوند. با توجه به اینکه پژوهشکده تحقيقات كشاورزي، پژشكى و صنعتى سازمان انرژي اتمی ایران، اولين نمونه‌ي دانه‌ي پالاديم-۱۰۳^۳ را در کشور تولید کرده است، لذا تعیین پارامترهای دوزیمتري این چشمeh مطابق با پروتکل TG-43U1 قبل از کاربرد باليني، لازم و ضروري است.

مواد و روشها: در اين تحقيق تابع دوز شعاعی، تابع ناهمسانگردي و ثابت ناهمسانگردي اولين نمونه‌ي دانه‌ي پالاديم-۱۰۳^۴ ساخته شده، با استفاده از دوزیمترهای ترمولومینسانس-۱۰۰^۵ در فانتوم پرسپیکس اندازه‌گيری شده است. دوزیمترهای ترمولومینسانس به شکل تراشه هايی مربعی به ابعاد ۳/۱ ميلی متر و ضخامت ۰/۹ ميلی متر می‌باشند که در برابر پرتو گاما می‌كبات^۶ ۶۰ کالیبره گردیدند. فانتوم به صورت يك مکعب شامل صفحات پرسپیکس طراحی شد و به منظور در نظر گرفتن اثر پرتوهای پراکنده، ابعاد فانتوم ۳۰ سانتي متر انتخاب شد. دو نوع فانتوم جامد در اين تحقيق ساخته شد. اولين فانتوم برای تعیین تابع دوز شعاعی و دومين فانتوم برای تعیین تابع ناهمسانگردي و ثابت ناهمسانگردي چشمeh در فانتومها با استفاده از دوزیمترهای ترمولومینسانس-۱۰۰^۷ توسط دستگاه رايتگر مدل RMKL KFKI اندازه‌گيری شد.

نتایج: با استفاده از روابط تعریف شده در پروتکل TG-43U1 تابع دوز شعاعی، تابع ناهمسانگردي و ثابت ناهمسانگردي تعیین و با کمیتهای متناظر اندازه‌گيری شده برای چشمeh^۸ Best double-wall^۹ توسط میگونی و همكارانش در سال ۲۰۰۱ مقایسه شدند. نتایج بدست آمده از اين مقایسه در توافق خوبی با يكديگر می‌باشند.

بحث و نتیجه‌گیری: توزيع دوز فضائي بدست آمده در اطراف چشمeh و پارامترهای دوزیمتري تعیین شده، از ديدگاه دوزیمتري، مؤيد مناسب بودن چشمeh ساخته شده جهت اهداف برآکي تراپي سلطان پروستات است. (مجله فیزیک پژشكى ایران، دوره ۳، شماره ۱۳، زمستان ۸۵: ۲۴-۱۷)

واژگان کلیدی: برآکي تراپي، پارامترهای دوزیمتري، پروتکل TG-43U1 ، دوزیمتر ترمولومینسانس-۱۰۰

۱- ¹⁰³Pd

2- AAPM (American Association of Physicists in Medicine)

3- TLD-100

* نویسنده مسؤول: غلامرضا رئيس علی آدرس: انتهای خیابان کارگر شمالی، سازمان انرژي اتمی ایران.

پژوهشکده کاربرد پرتوها، صندوق پستی: ۱۱۳۶۵-۳۴۸۶ تلفن: +۹۸ (۲۱) ۸۸۲۲۱۲۲۲

graisali@aeoi.org.ir

غلامرضا رئیس علی و همکاران

۱- مقدمه

$$\dot{D}(r, \theta) = S_K \Lambda \frac{G_x(r, \theta)}{G_x(r_0, \theta_0)} g_x(r) F(r, \theta) \quad (1)$$

کمیات مورد استفاده در رابطه (۱) به شرح زیر تعریف شده اند.

۱- شدت کرمای هوا^۱ ، S_K

$$S_K = \dot{K}(d) d^2 \quad (2)$$

۲- ثابت آهنگ دوز^۲ ، Λ

$$\Lambda = \frac{\dot{D}(r_0, \theta_0)}{S_K} \quad (3)$$

۳- تابع هندسی^۴ ، $G(r, \theta)$

$$G_p(r, \theta) = r^{-2} \quad (4\text{-الف})$$

(point-source approximation)

$$G_L(r, \theta) = \begin{cases} \frac{\beta}{Lr \sin \theta} & \text{if } \theta \neq 0^\circ \\ (r^2 - L^2/4)^{-1} & \text{if } \theta = 0^\circ \end{cases} \quad (4\text{-ب})$$

(line-source approximation)

۴- تابع دوز شعاعی^۵ ، $g(\mathbf{r})$

$$g_x(r) = \frac{\dot{D}(r, \theta_0)}{\dot{D}(r_0, \theta_0)} \frac{G_x(r_0, \theta_0)}{G_x(r, \theta_0)} \quad (5)$$

۵- تابع ناهمسانگردی دو بعدی^۶ ، $F(r, \theta)$

$$F(r, \theta) = \frac{\dot{D}(r, \theta)}{\dot{D}(r_0, \theta_0)} \frac{G_x(r, \theta_0)}{G_x(r, \theta)} \quad (6)$$

2- Air-Kerma Strength

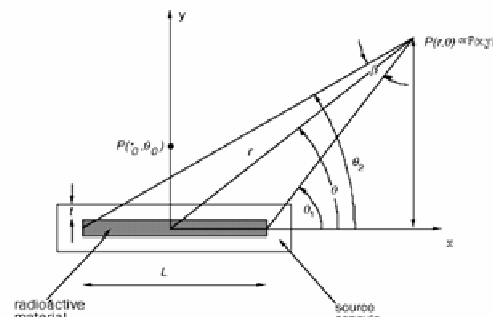
3- Dose-Rate Constant

4- Geometry Function

5- Radial Dose Function

6- 2D Anisotropy Function

امروزه درمان بدخیمی‌های چشم، سر و گردن، پستان، دهانه رحم و بويژه پروستات با روش برآکی تراپی درون نسجی بطور گسترده‌ای افزایش یافته است که این افزایش به دلیل امتیازهایی ظیف سادگی طرز عمل و کاهش اثرات جانبی درمان به روش برآکی تراپی در مقابل پرتو درمانی خارجی و برداشتن تومور بصورت جراحی است [۱-۵]. از آنجایی که انرژی متوسط بالادیم 10^3 ، حدود 20 کیلو الکترون ولت^۱ است، توزیع دوز اطراف چشم به دلیل فیلتراسیون ذاتی و جذب درون چشم تغییر می کند، بنابراین مشخصات دوزیمتری چشم به برآکی تراپی به ابعاد طراحی شده و مواد بکار رفته وابسته است [۴]. مطابق با توصیه‌های انجمان فیزیکدانهای پزشکی آمریکا در پروتکل TG-43U1 [۶] لازم است پارامترهای دوزیمتری این چشم‌ها شامل شدت کرمای هوا، ثابت آهنگ دوز، تابع هندسی، تابع دوز شعاعی و تابع ناهمسانگردی بطور دقیق تعیین شوند [۶]. پارامترهای دوزیمتری در فرمول محاسبه دوز دو بعدی (رابطه (۱)) در پروتکل TG-43U1 برای چشم‌های برآکی تراپی استوانه‌ای (شکل ۱) به شرح زیر معرفی شده‌اند [۶].



شکل ۱- سیستم مختصات و پارامترهای مورد استفاده در محاسبات دوزیمتری چشم‌های برآکی تراپی [۶]

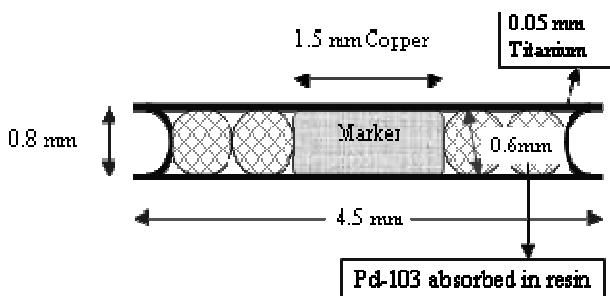
1- keV

دوزیمتري چشمeh های برآکي تراپي پالاديم ۱۰۳-

۲- مواد و روشها

۱- توصيف چشه

اولين نمونه چشه دانه‌اي پالاديم ۱۰۳ توليد شده در پژوهشکده تحقیقات کشاورزی، پزشكى و صنعتى سازمان انرژى اتمى (NRCA01)، به صورت کپسولی از جنس تیتانیوم با قطر داخلی ۰.۷ میلى متر و قطر خارجی ۰.۸ میلى متر ساخته شده است. طول کپسول ۴.۵ میلى متر و ضخامت انتهای کپسول ۰.۱ میلى متر است. چشه شامل چهار رزین کروی (گوچه) به قطر ۰.۶ میلى متر است که با توزيع يکنواخت پالاديم فعال شده اند و يك نشانگر مسى استوانه‌اي شكل به ارتفاع ۱.۵ میلى متر و قطر ۰.۶ میلى متر در مرکز چشه قرار دارد (شکل ۲). با توجه به نحوه توزيع گوچه‌های فعال پالاديم، طول فعال چشه برابر ۳.۹ میلى متر فرض شده است.



شکل ۲- اولين دانه پالاديم ۱۰۳ ساخته شده در پژوهشکده تحقیقات کشاورزی، پزشكى و صنعتى (NRCA01)

۲-۲- فانتوم

توزيع دوز اطراف چشهه‌های برآکي تراپي توسط دوزیمترهای ترمولومینسانس ليتيم فلورايد در فانتوم جامد اندازه‌گيرى شد [۷]. اين فانتوم بصورت مکعبی شامل صفحات پرسپیکس و با استفاده از اطلاعات توصيه شده در زمینه دوزیمتري چشهه های برآکي تراپي

كميتهای L , α و θ در شکل ۱ معرفی شده‌اند و در رابطه (۲)، d فاصله کالibrاسيون و $K(d)$, آهنگ کرمای هوا در فاصله d از مرکز چشهه است. نقطه مرجع برای محاسبات دوز روی محور نصف کننده چشهه، ($\theta_0 = 90^\circ$) و در فاصله $r_0 = 1$ cm از مرکز چشهه قرار دارد. در پروتکل TG-43U1 تابع ناهمسانگردي يك بعدی بصورت رابطه (۷)تعريف می شود.

$$\phi_{an}(r) = \frac{\int_0^{\pi} \dot{D}(r, \theta) \sin(\theta) d\theta}{\dot{D}(r, \theta_0)} \quad (7)$$

همچنین ثابت ناهمسانگردي، $\bar{\phi}_{an}(r)$ ، بصورت ميانگين تابع ناهمسانگردي يك بعدی در فواصل مختلف تعريف می شود. فرمول محاسبه ثابت ناهمسانگردي بصورت رابطه (۸) است [۶].

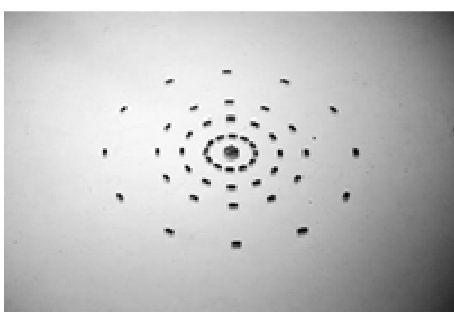
$$\bar{\phi}_{an} = \sum_{i=1}^n \frac{\phi_{an}(r_i)}{r_i^2} / \sum_{i=1}^n \frac{1}{r_i^2} \quad (8)$$

با توجه به اينكه پژوهشکده تحقیقات کشاورزی، پزشكى و صنعتى، اولين نمونه مدل دانه‌اي چشه پالاديم ۱۰۳ را در کشور توليد كرده است، لذا تعیین پارامترهای دوزیمتري اين چشه مطابق با پروتکل TG-43U1 قبل از کاربرد بالیني، لازم و ضروري است. در اين تحقیق میزان دوز جذبي با استفاده از دوزیمترهای ترمولومینسانس ۱۰۰ در فانتوم پرسپیکس اندازه‌گيرى شد و تابع دوز شعاعي، تابع ناهمسانگردي و ثابت ناهمسانگردي بر اساس پروتکل TG-43U1 تعیین شدند.

بطور مشابه بدست می‌آید تأثیر آن در محاسبات تابع ناهمسانگردی دو بعدی حذف می‌گردد [۸].



شکل ۳- طرح فانتوم برای محاسبه ثابت آهنگ دوز و تابع دوز شعاعی



شکل ۴- طرح فانتوم برای محاسبه تابع ناهمسانگردی

۲-۳-۲- اندازه‌گیری دوز با استفاده از دوزیمترهای ترمولومینسانس

در این تحقیق برای کالیبراسیون دوزیمترهای ترمولومینسانس-۱۰۰ از دستگاه کبالت ۶۰ متعلق به آزمایشگاه دوزیمتری استاندارد ثانویه^۳ پژوهشکدهی تحقیقات کشاورزی، پژوهشکی و صنعتی استفاده شد. قبل از هر بار پرتودهی به دوزیمترها، برای آنیل کردن^۳، دوزیمترها به مدت یک ساعت در دمای ۴۰۰ درجه

طراحی گردید [۱۰، ۹، ۸، ۴]. ابعاد فانتوم $30 \times 30 \times 30$ سانتی متر مکعب در نظر گرفته شد تا تمام پرتوهای پراکنده را در برگیرد. نحوه قرار گیری دوزیمترها در فانتوم به گونه‌ای طراحی شد که تأثیر آنها بر یکدیگر به حداقل برسد. دو نوع فانتوم پرسپکس در این تحقیق ساخته شد. اولین فانتوم برای محاسبه ثابت آهنگ دوز و تابع دوز شعاعی طراحی شده است (شکل ۳). این فانتوم شامل سه صفحه پایینی، میانی و بالایی است. چشمۀ در مرکز هندسی صفحه میانی به گونه‌ای قرار می‌گیرد که محور طولی چشمۀ $(\theta=0)$ بر صفحۀ میانی عمود باشد. قرص‌های دوزیمتر ترمولومینسانس در سوراخهایی که در صفحه میانی ایجاد شده با آرایش نشان داده شده در شکل ۳، قرارداده می‌شوند. این قرص‌ها به گونه‌ای قرار می‌گیرند که مرکز آنها و مرکز چشمۀ در یک صفحه قرار داشته باشند [۸]. همچنین قرص‌های دوزیمتر به گونه‌ای در فانتوم جای داده می‌شوند تا اثرسایه^۱ ظاهر نشود. در این تحقیق برای این فانتوم از ۳۶ عدد دوزیمتر در هر اندازه‌گیری استفاده شده است. دومین فانتوم برای اندازه‌گیری تابع ناهمسانگردی چشمۀ طراحی گردید (شکل ۴). در این فانتوم، چشمۀ در مرکز هندسی صفحه میانی فانتوم به گونه‌ای قرار می‌گیرد که محور طولی چشمۀ موازی با صفحۀ میانی باشد [۸]. دوزیمترها در فواصل شعاعی مختلفی از چشمۀ و زوایای قطبی صفر تا ۳۶۰ درجه با فواصل زاویه ای ۳۰ درجه نسبت به محور طولی چشمۀ قرار می‌گیرند. اثر سایه وابسته به دوزیمترهایی که در زاویه قطبی مشابه و در فواصل شعاعی متواالی قرار می‌گیرند، روی نتایج تأثیری نمی‌گذارند. علت این امر به تعریف تابع ناهمسانگردی مربوط می‌شود که در آن، آهنگ دوز در نقطه (r, θ) به آهنگ دوز در نقطه $(r, \pi/2)$ بمنجر می‌شود. لذا با توجه به اینکه اثر سایه برای هر زاویه‌ای در فاصله شعاعی یکسان

2- SSDL
3- Annealing

1- Shadowing Effect

تصحیح انرژی برابر با $1/4$ برای چشم‌های پالادیم با انرژی 20 کیلو الکترون ولت اعمال شد [۱۱، ۱۲].

۴-۲- تعیین پارامترهای دوزیمتری براساس پروتکل **TG-43U1**

در این تحقیق، جهت افزایش دقت در محاسبات درون یابی و بروون یابی تابع‌های دوز شعاعی و ناهمسانگردی، از مقادیر محاسبه شده تابع هندسی با استفاده از کد MCNP4C استفاده شده است [۱۶].

برای تعیین تابع دوز شعاعی، توزیع دوز در فانتوم پلکسی‌گلاس مطابق با شکل ۳ توسط دوزیمترهای ترمولومینسانس و مطابق با رابطه (۹) اندازه‌گیری شد. تابع دوز شعاعی با استفاده از رابطه (۵) در فواصل $1/5, 1/10, 2/3, 4$ و 5 سانتی‌متر تعیین گردید. برای تعیین تابع ناهمسانگردی دو بعدی و ثابت ناهمسانگردی، توزیع دوز در فانتوم پرسپکس مطابق با شکل ۴ توسط دوزیمترهای ترمولومینسانس در زوایای $0^\circ, 30^\circ, 60^\circ$ و 90° درجه و فواصل $1, 1/5, 2, 3, 4$ و 5 سانتی‌متر تعیین گردید. ثابت ناهمسانگردی در پرسپکس با استفاده از رابطه (۸) بدست آورده شد.

۴- نتایج

تابع دوز شعاعی با استفاده از رابطه (۵) در فواصل $1, 2/5, 2, 3, 1/2, 5$ و 5 سانتی‌متر محاسبه شد. نتایج بدست آمده در جدول ۱ آورده شده است. همچنین در نمودار رسم شده در شکل ۵، تابع دوز شعاعی اندازه‌گیری شده در پلکسی‌گلاس مربوط به دانه NRCAM01 با تابع دوز شعاعی محاسبه شده در فانتوم آب برای چشم‌های ^{103}Pd Best double-wall مقایسه شد. به دلیل جذب متفاوت فوتونهای کم انرژی چشم‌های پالادیم در دو ماده مختلف آب و پلکسی‌گلاس،

سانتی‌گراد و سپس به مدت ۲ ساعت در دمای 100 درجه سانتی‌گراد گرم شدند و سپس تا رسیدن به دمای اتاق سرد شدند. به منظور اندازه‌گیری دوز زمینه از 40 عدد دوزیمتر موجود، 4 عدد کنار گذاشته شد تا در تمام مراحل پرتودهی، تحت هیچ تابشی قرار نگیرند ولی تحت شرایط محیطی مشابه با بقیه نگهداری شوند. در این تحقیق برای قرائت پاسخ دوزیمترها از دستگاه قرائتگر مدل KFKI RMKI ساخت کشور مجارستان استفاده شد. دوزیمترها پس از انجام مراحل کالیبراسیون و گرمادهی مجدد به همراه چشم‌های در محل‌های تعییه شده در فانتوم قرار داده شدند. سپس پاسخ فرصهای دوزیمترهای ترمولومینسانس- 100 از نمودارهای نورافشانی^۱ بدست آمد. با بدست آوردن قرائت دوزیمتر در هر آزمون، با استفاده از فرمولهای مربوط به کالیبراسیون و ضریب تصحیح، مقدار دوز جذب شده در هر نقطه بدست آمد [۴، ۷، ۸]. دوز با استفاده از رابطه (۹) محاسبه شد [۵، ۱].

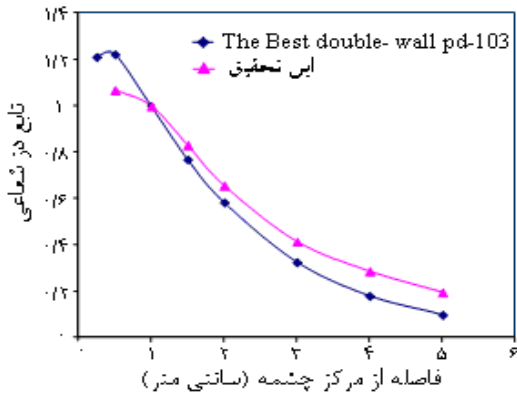
$$\dot{D}(r, \theta) = \frac{R}{C_F \times E_F \times T} \quad (9)$$

در این فرمول $\dot{D}(r, \theta)$ آهنگ دوز در نقطه (r, θ) ، R خوانش دوزیمتر با اعمال ضریب تصحیح تراشه‌های دوزیمترهای ترمولومینسانس^۲ و کسر دوز زمینه، C_F فاکتور کالیبراسیون هر دوزیمتر ترمولومینسانس (شمارش بر سانتی‌گراد)^۳ برای پرتو کالیبره شده کیالت 60° , E_F فاکتور تصحیح انرژی و T زمان آزمایش تصحیح شده برای واپاشی فوتون در مدت زمان پرتودهی فرصهای دوزیمتر ترمولومینسانس است. فاکتور

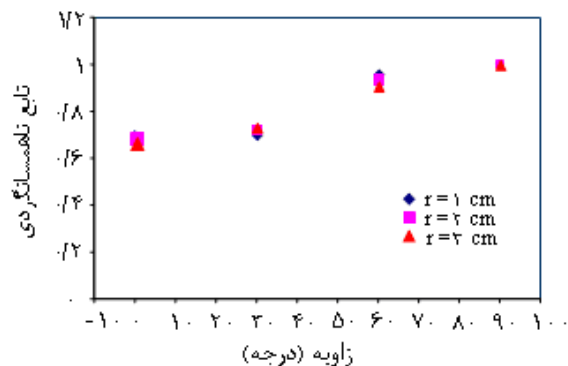
1- Glow Curve

2- Element Correction Coefficient: ECC

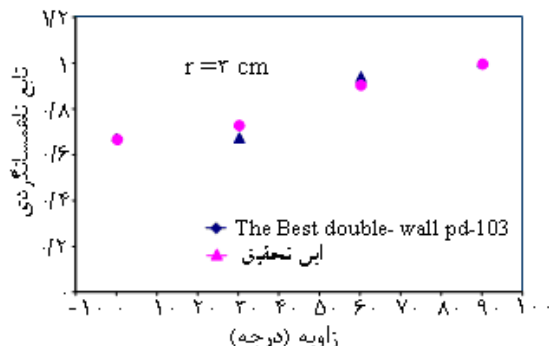
3- Count/cGy



شکل ۵- مقایسه تابع دوز شعاعی اندازه‌گیری شده در پرسپکس مربوط به دانه NRCAM01 با تابع دوز شعاعی محاسبه شده در آب چشمی Best double-wall ^{103}Pd توسط میگونی و همکارانش [۵]



شکل ۶- تغییرات تابع ناهمسانگردی اندازه‌گیری شده در فانتوم جامد با دوزیمتر ترمولومینسانس بعنوان تابعی از فاصله شعاعی از مرکز چشمی با زوایای مختلف برای دانه NRCAM01



شکل ۷- مقایسه تابع ناهمسانگردی اندازه‌گیری شده در پرسپکس در فاصله ۳ سانتی متر از مرکز چشمی مربوط به دانه NRCAM01 با تابع دوز شعاعی محاسبه شده در آب چشمی Best double-wall ^{103}Pd توسط میگونی و همکارانش [۵]

طیف انرژی چشمی پالادیم در این دو ماده، متفاوت است، لذا تابع دوز شعاعی اندازه‌گیری شده در فانتوم آب و فانتوم پلکسی‌گلاس با یکدیگر متفاوتند. تفاوت بین تابع دوز شعاعی مربوط به دانه Best double-wall ^{103}Pd با چشمی NRCAM01 به تفاوت ساختار داخلی و طراحی چشمیها و تفاوت فانتوم‌های بکار رفته در این دو تحقیق می‌باشد.

جدول ۱- تابع دوز شعاعی اندازه‌گیری شده با دوزیمترهای ترمولومینسانس برای دانه NRCAM01 *

فاصله	اندازه گیری شده (در پرسپکس)	تابع دوز شعاعی, r
۱/۰۷	۰/۵	
۱	۱/۰	
۰/۸۳	۱/۵	
۰/۶۶	۲/۰	
۰/۴۱	۳/۰	
۰/۲۸	۴/۰	
۰/۱۹	۵/۰	

*خطای مقادیر اندازه‌گیری شده حدود ۷٪ است.

تابع ناهمسانگردی دو بعدی با استفاده از رابطه (۶) در زوایای ۰، ۳۰، ۶۰ و ۹۰ درجه و فواصل ۱، ۱/۵، ۲، ۳، ۴، ۵ سانتی متر محاسبه شد و نتایج بدست آمده در نمودارهای رسم شده در شکل ۷ تابع ناهمسانگردی دو بعدی مربوط به دانه NRCAM01 با تابع Best double-wall ^{103}Pd بدست آمده توسط میگونی و همکارانش در سال ۲۰۰۱ در آب مقایسه گردید. تفاوت‌ها مربوط به تفاوت ساختار داخلی و طراحی چشمیها و تفاوت فانتوم‌های بکار رفته در این دو تحقیق می‌باشد.

چشم‌های تولید شده توسط سایر محققین [۵، ۱۲، ۱۳، ۱۴ و ۱۵] در جدول ۲ مقایسه شده است.

ثبت ناهمسانگردی مربوط به دانه NRCAM01 بصورت رابطه (۸) در پلکسی‌گلاس محاسبه شده و با ثابت ناهمسانگردی

جدول-۲- مقایسه ثابت ناهمسانگردی (φ_{an}) مربوط به دانه NRCAM01 با چشم‌های تولید شده توسط سایر محققین [۵، ۱۲، ۱۳، ۱۴ و ۱۵].

مدل چشم	روش	ماده	φ_{an}
NRCAM01	دوزیمتری با ترمولومینسانس-۱۰۰	پرسپیکس	۰/۹۲
Best ¹⁰³ Pd	دوزیمتری با ترمولومینسانس-۱۰۰-	Solid Water TM	۰/۸۹
Best ¹⁰³ Pd	شیبیه سازی مونت کارلو	Solid Water TM	۰/۸۸
Best ¹⁰³ Pd	شیبیه سازی مونت کارلو	آب	۰/۸۸
MED3633	دوزیمتری با ترمولومینسانس-۱۰۰-	RW1	۰/۹۵
MED3633	دوزیمتری با دیود	آب	۰/۹۷
MED3633	شیبیه سازی مونت کارلو	آب	۰/۹۲
Model 200	شیبیه سازی مونت کارلو	آب	۰/۸۷
Intersource ¹⁰³	دوزیمتری با ترمولومینسانس-۱۰۰-	Solid Water TM	۰/۹۰
Intersource ¹⁰³	شیبیه سازی مونت کارلو	Solid Water TM	۰/۹۰
Intersource ¹⁰³	شیبیه سازی مونت کارلو	آب	۰/۸۹

۵- بحث و نتیجه‌گیری

همخوانی پارامترهای دوزیمتری دانه NRCAM01 با دیگر چشم‌های پالادیم-۱۰۳ که هم اکنون در بخش‌های پرتودرمانی سراسر دنیا مورد استفاده قرار می‌گیرند، نشاندهنده مناسب بودن خصوصیات دوزیمتری این چشم‌جهت بکارگیری در بخش‌های پرتودرمانی ایران جهت براکی تراپی سرطان پروستات می‌باشد (جدول ۲ و شکل‌های ۵ و ۷).

توزیع دوز اطراف اولین نمونه مدل دانه‌ای چشم‌پالادیم-۱۰۳ تولید شده در پژوهشکده تحقیقات کشاورزی، پزشکی و صنعتی سازمان انرژی اتمی در فانتوم پرسپیکس با دوزیمترهای ترمولومینسانس اندازه‌گیری شد. سپس تابع دوز شعاعی، تابع ناهمسانگردی و ثابت ناهمسانگردی مطابق با پروتکل TG-43U1 تعیین گردید. همچنین پارامترهای دوزیمتری این چشم‌با دیگر چشم‌های تولید شده توسط سایر محققین [۵، ۱۲، ۱۳، ۱۴ و ۱۵] مقایسه شد. نتایج در شکل‌های ۵ و ۷ و جدول ۲ نشان می‌دهند که پارامترهای دوزیمتری این دانه‌ها با یکدیگر همخوانی دارند. تفاوت‌ها مربوط به تفاوت ساختار داخلی و طراحی چشم‌ها و تفاوت فانتوم‌های بکار رفته می‌باشد.

۶- تشك و قدردانی

بدین وسیله بر خود لازم می‌دانیم از آقای سید علی شرافت که در تایپ و کارهای گرافیکی این مقاله ما را یاری نمودند، همچنین از پژوهشکده تحقیقات کشاورزی، پزشکی و صنعتی سازمان انرژی اتمی ایران که حمایت مالی این تحقیق را بر عهده داشته است، سپاسگزاریم.

منابع

1. Bernard S, Vynckier S. Dosimetric study of a new polymer encapsulated ^{103}Pd seed. *Phys Med Biol.* 2005; 50: 1493-1504.
2. Meigooni AS, Zhang H, Clark JR, Rachabatthula V, Koona RA. Dosimetric characteristics of the new RadioCoilTM ^{103}Pd Wire line source for use in permanent brachytherapy implants. *Med Phys.* 2004;31(11):3095-3105.
3. Reniers B, Vynckier S, Scalliet P. Dosimetric study of a new palladium seed. *Applied Radiation and Isotopes.* 2002; 57: 805-811.
4. Patel NS, Chiu-Tsao S, Williamson JF, Fan P, Duckworth T, Shasha D, Harrison LB. Thermoluminescent dosimetry of the Symmetra ^{125}I model I25.S06 interstitial brachytherapy seed. *Med Phys.* 2001; 28(8):1761-1769.
5. Meigooni AS, Bharucha Z, Yoe-Sein M, Sowards K. Dosimetric characteristics of the best double-wall ^{103}Pd brachytherapy source. *Med Phys.* 2001;28:2568-2575.
6. Rivard MJ, Coursey BM, DeWerd LA, et al. Update of AAPM Task Group No.43 Report: A revised AAPM protocol for brachytherapy dose calculations. *Med Phys.* 2004;31(3):633-674.
7. Meigooni AS. Recent developments in brachytherapy source dosimetry. *Iran J Radiat Res.* 2004; 2(3):97-105.
8. Anagnostopoulos G, Baltas D, Karaiskos P, Sandilos P, Papagiannis P, Sakelliou L. Thermoluminescent dosimetry of the selectseed ^{125}I interstitial brachytherapy seed. *Med Phys.* 2002; 29(5):709-716.
9. Meigooni AS, Yoe-Sein MM, Al-Otoom AY, Sowards KT. Determination of the dosimetric characteristics of the intersource ^{125}I brachytherapy source. *Applied Radiation and Isotopes.* 2002; 56:589-599.
10. Peterson SW, Thomadson B. Measurement of the dosimetric constants for a new ^{103}Pd brachytherapy source. *Brachytherapy source.* 2002; 1: 110-119.
11. Rivard MJ. Monte Carlo calculation of AAPM Task Group Report No.43 dosimetry parameters for the MED3636-A/M ^{125}I source. *Med Phys.* 2001; 28(4):629-637.
12. Wallace RE, Fan JJ. Dosimetric characterization of a new design ^{103}Pd brachytherapy source. *Med Phys.* 1999;26, 2465-2470.
13. Li Z, Palta JR, Fan JJ. Monte Carlo calculation and experimental measurements of dosimetry parameters of a new ^{103}Pd source. *Med Phys.* 2000; 27,1108-1112.
14. Williamson JF. Mont Carlo modeling of the transverse-axis dose distribution of the model 200 ^{103}Pd interstitial brachytherapy source. *Med Phys.* 2000;27,643- 654
15. Meigooni AS, Sowards K, Soldano M. Dosimetric characteristics of the InterSource ^{103}Pd brachytherapy source. *Med Phys.* 2000; 27(5):1093-1100.
16. King RP, Anderson RS, Mills MD. Geometry functions of a linear brachytherapy source. *J Appl Clin Med Phys.* 2001;2(2):69-72.